



University of Tehran Press

## Data Mining of 24-Hour Cumulative Precipitation Data in Iran Using Machine Learning: Multilayer Perceptron Neural Network and Decision Tree

Mozaffar Faraji,<sup>1</sup> Majid Rezaei Banafsheh Doragh,<sup>2\*</sup> Behrouz Sari Sarraf,<sup>3</sup> Ali Mohammad Khorshid Dust<sup>4</sup>

1. PhD Student, Department of Climatology, University of Tabriz, Tabriz, Iran; Email: [mozaffar.faraji@tabrizu.ac.ir](mailto:mozaffar.faraji@tabrizu.ac.ir)
2. Professor, Department of Climatology, University of Tabriz, Tabriz, Iran; Email: [mrbanafsheh@tabrizu.ac.ir](mailto:mrbanafsheh@tabrizu.ac.ir)
3. Professor, Department of Climatology, University of Tabriz, Tabriz, Iran; Email: [sarisarraf@tabrizu.ac.ir](mailto:sarisarraf@tabrizu.ac.ir)
4. Professor, Department of Climatology, University of Tabriz, Tabriz, Iran; Email: [khorshid@tabrizu.ac.ir](mailto:khorshid@tabrizu.ac.ir)

---

### Article Info

**Article type:**  
Research Article

**Article history:**

Received April 06, 2025  
Received in revised form May 25, 2025  
Accepted May 31, 2025  
Available online June 22, 2025

**Keywords:**  
24-hour Cumulative  
Precipitation,  
Multilayer Perceptron  
Neural Network,  
Decision Tree,  
Iran.

---

### ABSTRACT

**Research Topic:** This study examines 24-hour cumulative precipitation data in Iran and predicts rainfall amounts over various time periods using data mining and machine learning.

**Objective:** To develop an accurate model for predicting 24-hour cumulative precipitation in regions of Iran using multilayer neural networks and decision trees to improve hydrological planning and water resource management.

**Method:** A daily precipitation dataset D was collected from Iranian stations and prepared using normalization. Two machine learning models including MLP with activation function  $\sigma$  and decision tree with entropy criterion were implemented. The models' performance was evaluated and compared with accuracy, precision, and error criteria.

**Results:** The MLP model demonstrated efficiency in estimating monthly precipitation by minimizing MSE to 0.04. The decision tree analysis classified Iran provinces into seven clusters based on precipitation characteristics; clusters 4 and 7 represent provinces with minimum (including Isfahan, Sistan and Baluchestan, Yazd) and maximum precipitation (including Gilan, Kohgiluyeh and Boyer-Ahmad, Mazandaran), respectively. Linear regression showed a significant effect of the time variable with 0.209 on precipitation variance.

**Conclusions:** The use of machine learning, especially neural networks, is effective in analyzing hydrological data in Iran and can help improve precipitation forecasting systems.

---

**Cite this article:** Faraji, M., Rezaei Banafsheh Doragh, M., Sari Sarraf, B., Khorshid Dust, A. M. (2024). Data Mining of 24-Hour Cumulative Precipitation Data in Iran Using Machine Learning: Multilayer Perceptron Neural Network and Decision Tree. *ECOHYDROLOGY*, 12 (2), 795-811. <http://doi.org/10.22059/IJE.2025.395276.1870>



© Mozaffar Faraji, Majid Rezaei Banafsheh Doragh, Behrouz Sari Sarraf, Ali Mohammad Khorshid Dust.  
Publisher: University of Tehran Press.  
DOI: <http://doi.org/10.22059/IJE.2025.395276.1870>

---

## Materials and Methods

The data used in this research are hourly and daily information from synoptic stations throughout Iran in the time frame of 1990 to 2020. The selection of this time frame was made considering the availability of high-quality data and appropriate geographical coverage. Before being used in machine learning models, the raw data underwent the necessary pre-processing steps, including the removal of missing values, detection and correction of errors, and data normalization.

## Findings

The multilayer perceptron (MLP) neural network, with optimized settings, was able to accurately predict monthly rainfall, reducing the MSE in the test section to 0.04. This indicates the high accuracy of the model in predicting monthly rainfall, and the training time of the model is also within an acceptable range. The MLP neural network with the proposed architecture and settings is introduced as a suitable model for predicting monthly rainfall in different regions of Iran. The use of standard scaling, the hyperbolic tangent activation function, and the MSE error function have helped to improve the model's performance. This study shows that artificial neural networks are powerful tools for modeling and predicting complex phenomena such as rainfall and can be useful in hydrological studies and water resource management. Furthermore, decision tree analysis has been used to identify 24-hour rainfall patterns in the provinces of Iran. The results of this analysis are presented in the form of a tree structure diagram, showing the clustering structure of the provinces based on the average rainfall. These clusters include the provinces of Khuzestan, East Azerbaijan, North Khorasan, Bushehr, Razavi Khorasan, and Alborz with relatively higher rainfall; the provinces of Fars, Markazi, Ardabil, Zanjan, Qazvin, and Hamedan with different rainfall characteristics; the provinces of Tehran, West Azerbaijan, Kermanshah, Lorestan, and Kurdistan with special climatic characteristics; the provinces of Isfahan, Sistan and Baluchestan, and Yazd with significantly lower rainfall; the provinces of Kerman, South Khorasan, Hormozgan, Semnan, and Qom with less rainfall and under the influence of desert and semi-desert conditions; the provinces of Ilam, Chaharmahal and Bakhtiari, and Golestan with rainfall diversity in high altitude areas; and the provinces of Mazandaran, Gilan, and Kohgiluyeh and Boyer-Ahmad with abundant rainfall due to the presence of forests and mountains. This analysis has helped to identify rainfall patterns in different provinces of Iran and can be used to optimize water resource management and predict future rainfall conditions, and serve as a guide for decision-makers in the field of water crisis management and climate change.

## Conclusion

In general, the use of machine learning techniques, especially multilayer perceptron (MLP) neural networks and decision tree algorithms, in the analysis of hydrological data related to Iran has effective results and can greatly contribute to the improvement of rainfall prediction systems. MLP neural networks, with high accuracy in predicting monthly rainfall, act as a powerful tool in modeling complex hydrological phenomena. On the other hand, the decision tree algorithm, by identifying rainfall patterns in different provinces, enables the optimization of water resource management and planning for coping with water crises. These results show that by using modern machine learning approaches, a better understanding of rainfall patterns in Iran can be achieved and more effective decisions can be made in the field of water resource management. Combining these two methods with other hydrological models can lead to the creation of more accurate and efficient rainfall prediction systems and play an important role in the sustainable management of the country's water resources.

## Data Availability Statement

This article is derived from the doctoral dissertation of Mr. Mozaffar Faraji, which is being conducted at the University of Tabriz.

## Conflict of Interest

The authors declare that there is no conflict of interest.

## Ethical Considerations

The authors are committed to not presenting and falsifying data.

**Acknowledgments**

The authors express their gratitude to the Meteorological Organization of the country for providing meteorological data, as well as to the esteemed Journal of Ecohydrology of the University of Tehran, the members of the editorial board of the journal, the referees and the respected editor-in-chief. Also, special thanks to the respected scientific and executive director of the journal, Mr. Dr. Mohammad Mirzavand, for his valuable and scientific reviews for this article.



## داده کاوی داده های بارش تجمعی ۲۴ ساعته ایران با استفاده از یادگیری ماشین شبکه عصبی پرسپترون چندلایه و درخت تصمیم

مظفر فرجی<sup>۱</sup>, مجید رضایی بنفشه درق<sup>۲\*</sup>, بهروز ساری صراف<sup>۳</sup>, علی محمد خورشیددوست<sup>۴</sup>

۱. دانشجوی دکتری، گروه آب و هواشناسی، دانشگاه تبریز، تبریز، ایران. رایانامه: [mozaffar.faraji@tabrizu.ac.ir](mailto:mozaffar.faraji@tabrizu.ac.ir)

۲. استاد، گروه آب و هواشناسی، دانشگاه تبریز، تبریز، ایران. رایانامه: [mrbanafsheh@tabrizu.ac.ir](mailto:mrbanafsheh@tabrizu.ac.ir)

۳. استاد، گروه آب و هواشناسی، دانشگاه تبریز، تبریز، ایران. رایانامه: [sarlisarraf@tabrizu.ac.ir](mailto:sarisarraf@tabrizu.ac.ir)

۴. استاد، گروه آب و هواشناسی، دانشگاه تبریز، تبریز، ایران. رایانامه: [khorshid@tabrizu.ac.ir](mailto:khorshid@tabrizu.ac.ir)

اطلاعات مقاله	چکیده
نوع مقاله: مقاله پژوهشی	موضوع: این مطالعه به بررسی داده های بارش تجمعی ۲۴ ساعته در ایران و پیش بینی میزان بارش در دوره های زمانی مختلف از طریق داده کاوی و یادگیری ماشین می پردازد.
تاریخ دریافت: ۱۴۰۴/۰۱/۱۷ تاریخ بازنگری: ۱۴۰۴/۰۲/۲۵	هدف: توسعه مدلی دقیق برای پیش بینی بارش تجمعی ۲۴ ساعته در مناطق ایران با استفاده از شبکه های عصبی چندلایه و درخت تصمیم، به منظور بهبود برنامه ریزی هیدرولوژیکی و مدیریت منابع آب.
تاریخ پذیرش: ۱۴۰۴/۰۳/۱۰ تاریخ انتشار: ۱۴۰۴/۰۴/۰۱	روش تحقیق: مجموعه داده بارش روزانه D از ایستگاه های ایران جمع اوری و با نرم افزار آماده شد. دو مدل یادگیری ماشین شامل MLP با تابع فعال سازی $\sigma$ و درخت تصمیم با معیار آنتروپی پیاده سازی شد. عملکرد مدل ها با معیارهای دقت، صحت و خطای ارزیابی و مقایسه گردید.
کلیدواژه ها: بارش تجمعی ۲۴ ساعته، شبکه عصبی پرسپترون چندلایه، درخت تصمیم، ایران.	یافته ها: مدل MLP در تخمین بارش ماهانه با حداقل سازی MSE به میزان ۰/۰۴ کارایی نشان داد. تحلیل درخت تصمیم، استان های ایران را بر اساس ویژگی های بارش به هفت خوش بندی تقسیم کرد؛ خوش های ۴ و ۷ به ترتیب استان های با کمینه (شامل اصفهان، سیستان و بلوچستان، یزد) و بیشینه بارش (شامل گیلان، کهگیلویه و بویراحمد، مازندران) را نشان داد. رگرسیون خطی تأثیر معنادار متغیر زمان با ۰/۰۹ بر واریانس بارش را نشان داد.
	نتیجه گیری: استفاده از یادگیری ماشین، به ویژه شبکه های عصبی، در تحلیل داده های هیدرولوژیکی ایران مؤثر است و می تواند به بهبود سیستم های پیش بینی بارش کمک کند.

استناد: فرجی، مظفر؛ رضایی بنفشه درق، مجید؛ ساری صراف، بهروز؛ خورشیددوست، علی محمد. داده کاوی داده های بارش تجمعی ۲۴ ساعته ایران با استفاده از یادگیری ماشین شبکه عصبی پرسپترون چندلایه و درخت تصمیم. اکوهیدرولوژی، ۱۲(۲)، ۷۹۵-۸۱۱.

<http://doi.org/10.22059/IJE.2025.395276.1870>



© مظفر فرجی، مجید رضایی بنفشه درق، بهروز ساری صراف، علی محمد خورشیددوست.

ناشر: انتشارات دانشگاه تهران.

## مقدمه

تغییرات آب و هوایی اشاره به تغییراتی در میانگین یا تنوع ویژگی‌های آب و هوایی دارد که به طور مستمر برای دوره‌های طولانی ادامه خواهد داشت. این تغییرات ناشی از عوامل طبیعی و فعالیت‌های انسانی هستند (عساکره و مطلبیزاد، ۱۳۹۶). بارش به عنوان یکی از عناصر کلیدی چرخه هیدرواقلیمی کره زمین، تحت تأثیر روابط پیچیده و غیرخطی بین سامانه اقلیم و عوامل محیطی قرار دارد. شناخت این روابط و انجام برنامه‌ریزی‌های محیطی بر مبنای آن‌ها در حالت عادی امری دشوار است و به همین دلیل، طبقه‌بندی داده‌ها و تقسیم اطلاعات به دسته‌های متجانس و کوچک می‌تواند از این منظر مفید واقع شود (شاھبایی کوتایی و عساکره، ۱۴۰۲). این فرایندها می‌توانند در مدیریت و مهار سیالاب‌ها، طراحی سازه‌های آبی در حوزه‌های آبخیز و نیز مدیریت خشکسالی مؤثر واقع شوند (دهقانی، وفاخواه و بهره‌مند، ۱۳۹۵). پیش‌بینی بارش به عنوان نقش اساسی در حفظ، مدیریت و تخصیص منابع آب، تعیین حجم تأسیسات آبی، تأمین نیاز آبی محصولات کشاورزی و همچنین ارزیابی میزان فرسایش و رسوب به شمار می‌رود. برای پیش‌بینی بارش، روش‌های متعددی وجود دارد. یکی از این روش‌ها، استفاده از شبکه‌های عصبی مصنوعی است که براساس اطلاعات اقلیمی و جغرافیایی نظیر دمای حداقل و حداکثر، رطوبت، بارش، طول و عرض جغرافیایی، و ارتفاع از سطح دریا عمل می‌کند (بهرامی، سالاری و امیری، ۱۴۰۲). پیش‌بینی بارش یکی از مسائل مهم در زمینه مدیریت بهینه منابع آب در بخش‌های مختلف نظیر صنعت، شرب و کشاورزی است. توانایی پیش‌بینی بارش می‌تواند به جلوگیری از تلفات و خسارات ناشی از بلایای طبیعی کمک کند (فلاح قالهری و شاکری، ۱۳۹۴). بارش از جمله پارامترهای اقلیمی مهم تأثیرگذار بر رژیم هیدرولوژیکی حوضه‌های آبخیز است. با وجود روش‌های متعدد پیش‌بینی میزان بارش، از جمله مدل‌های سری زمانی و شبکه‌های عصبی مصنوعی، شایان ذکر است که بسیاری از این مدل‌ها بدون در نظر گرفتن مسائل گرمایش جهانی و تغییر اقلیم عمل می‌کنند (بابایی حصار و قضاوی، ۱۳۹۴). امروزه انواع مختلف شبکه‌های عصبی مصنوعی در حوزه‌های مختلف علوم جویی و اقلیم‌شناسی برای اهدافی نظیر طبقه‌بندی، رگرسیون و پیش‌بینی کاربرد دارند (پاک‌دامن، ۱۴۰۱). گسترش سریع استفاده از این شبکه‌ها به عنوان مدل‌های تجربی و کارآمد در زمینه‌های مختلف از جمله هواشناسی و اقلیم‌شناسی نشان‌دهنده ضرورت و اهمیت بالای مطالعه این مدل‌هاست. پیش‌بینی بارش برای اهداف مختلف نظیر برآورد سیالاب، خشکسالی، مدیریت حوضه آبریز، و کشاورزی از اهمیت بالایی برخوردار است (قلی‌زاده و دارند، ۱۳۸۹). بارش‌های تجمعی ۲۴ ساعته در مناطق مختلف ایران نقش اساسی در شکل‌دهی به اکوسیستم‌ها، فعالیت‌های کشاورزی و جنبه‌های مختلف حیات انسانی ایفا می‌کنند؛ بهویژه این بارش‌ها می‌توانند تأثیرات قابل توجهی بر روی منابع آبی، تنفسیه خاک و محیط‌زیست داشته باشند؛ در عین حال، نوسانات شدید بارش ممکن است موجب خسارات اقتصادی و اجتماعی فراوانی بشود؛ از این‌رو، درک دقیق از الگوها و روندهای بارشی بهویژه در مقیاس زمانی ۲۴ ساعته، برای برنامه‌ریزی مؤثر و مدیریت بهینه منابع آبی ضروری است. تحقیقات نشان داده‌اند که نوسانات بارش و تغییرات اقلیمی می‌توانند منجر به بروز پدیده‌های طبیعی آسیب‌زا مانند سیالاب‌ها، خشکسالی‌ها و الگوهای نامنظم کشاورزی شوند. بنابراین، پیش‌بینی دقیق بارش‌ها نه تنها اهمیت اقتصادی و اجتماعی دارد، بلکه از نظر محیط‌زیستی نیز در کاهش آسیب‌های ناشی از تغییرات اقلیمی و تأمین امنیت غذایی مؤثر است. پژوهش حاضر، با بهره‌گیری از مدل‌های پیشرفته و روش‌های تحلیلی ریاضی، در پی درک عمیق‌تر الگوهای بارشی در ایران و ارزیابی تأثیرات آن‌ها بر مدیریت منابع آب و پیش‌بینی رخدادهای طبیعی است. به همین منظور، از روش‌هایی نظیر شبکه عصبی پرسترنون چندلایه (MLP)، درخت تصمیم، تحلیل کلاساسترینگ، و رگرسیون خطی استفاده شده است. به طور مشخص، این مطالعه به دنبال شناسایی الگوهای مشخص بارش در سطح منطقه‌ای، توسعه مدل‌های پیش‌بینی مؤثر برای بارش‌های آینده و ارائه ابزاری کارآمد برای ارزیابی و تحلیل داده‌های بارشی است. از آنجاکه وجود الگوهای قوی می‌تواند در بهبود دقت پیش‌بینی‌ها و مدیریت منابع آب تأثیرگذار باشد، زمینه‌های پژوهشی در این حوزه دارای اهمیت و ضرورت بیشتری است. این پژوهش با استفاده از زبان برنامه‌نویسی R رویکردی نوآورانه برای داده‌کاوی بارش ۲۴ ساعته در ایران ارائه می‌دهد. نوآوری‌های اصلی شامل ترکیب مدل‌های MLP و درخت تصمیم برای افزایش دقت و تفسیرپذیری، به کارگیری روش‌های پیش‌پردازش داده پیشرفته نظیر انتخاب ویژگی RFE کاهش ابعاد (PCA/t-SNE) و مدیریت داده‌های ناقص (KNN imputation) است. همچنین، ارزیابی جامع مدل‌ها با معیارهای چندگانه MAE، RMSE، R-squared و... و اعتبارسنجی متقابل، در کنار استفاده از کتابخانه‌های تخصصی R، به توسعه مدل‌های پیش‌بینی بارش دقیق‌تر، پایدارتر و قابل

تفسیرتر منجر شده است. این یافته ها به درک الگوهای بارش و مدیریت منابع آب در ایران، به ویژه در برنامه ریزی مخاطرات بارش های شدید کمک می کند.

### پیشینه پژوهش

در راستای درک عمیق تر الگوهای بارش در ایران و ارزیابی کارایی روش های آماری و یادگیری ماشین، این پژوهش مروری بر مطالعات پیشین در زمینه تحلیل بارش با استفاده از این روش ها انجام داده است. این بخش به بررسی و تحلیل این مطالعات می پردازد تا زمینه علمی و جایگاه این تحقیق را در ادبیات پژوهشی مشخص کند. مطالعات پیشین در این حوزه را می توان به چند دسته کلی تقسیم کرد. پژوهش های پیشین نشان داده اند که تغییرات اقلیمی می توانند تأثیرات قابل توجهی بر الگوهای بارش داشته باشند. به عنوان نمونه، در مطالعه ای که با استفاده از مدل CanESM2 تحت سناریوهای مختلف RCP انجام شده است، شبیه سازی تغییرات اقلیمی در ایستگاه کرج نشان داد که میزان بارندگی در آینده نزدیک و دور به طور قابل توجهی کاهش خواهد یافت (سداتی نژاد، سلیمانی ساردو و میرزاوند، ۱۴۰۳). این یافته ها با نتایج حاصل از مدل های یادگیری ماشین که برای پیش بینی پارامترهای اقلیمی مورد استفاده قرار می گیرند و دقت این مدل ها را در پیش بینی مقادیر بارش تأیید می کنند، همسو است. این همسویی نشان می دهد که استفاده از روش های مختلف مدل سازی اقلیمی می تواند به درک بهتر الگوهای بارش و پیش بینی تغییرات آتی کمک کند. برخی پژوهش ها به بررسی کاربرد متغیرهای هواشناسی سینوپتیک و روش های داده کاوی برای پیش بینی بارش های شدید منطقه ای در جنوب غرب ایران پرداخته اند، که نتایج نشان داد ترکیب الگوهای آب و هوایی و روش های یادگیری ماشین می تواند به بهبود پیش بینی بارش کمک کند و بر اهمیت داده کاوی و یادگیری ماشین در تحلیل الگوهای بارش تأکید دارد (شاھقلیان، بذرافشان و ایران نژاد، ۱۴۰۱). همچنین، کاربرد رویکرد هوش مصنوعی در مطالعه تأثیر محرك های بزرگ مقیاس آب و هوایی بر بارش بلوجستان پاکستان نشان داد که مدل های شبکه عصبی مصنوعی ANN و شبکه عصبی بازگشتی BRNN عملکرد بهتری نسبت به مدل های رگرسیون و مؤلفه های اصلی در پیش بینی بارش ماهانه دارند، که این امر قدرت رویکردهای هوش مصنوعی را در پیش بینی بارش بر جسته می کند (تاجبار، خورشید دوست و جهانبخش اصل، ۱۴۰۱). بررسی های دیگر بر تأثیر الگوریتم های تنظیم کننده بیزی و لونبرگ پرسپترون چند لایه بر دقت پیش بینی بارش ماهانه ایران متوجه بوده اند و مشخص شده که الگوریتم های تنظیم کننده بیزی و لونبرگ مارکوات عملکرد بهتری نسبت به سایر روش ها داشته اند (پاکدامن، ۱۴۰۱). همچنین، شبیه سازی عددی تغییرات آب و هوایی ایران با استفاده از الگوریتم شبکه عصبی مصنوعی نشان داده است که مدل های ارائه شده می توانند با دقت قابل قبول مقادیر بارش را پیش بینی نمایند (فرجی و همکاران، ۱۴۰۲). در همین راستا، روش های یادگیری ماشین برای ایجاد یک سیستم هشدار اولیه برای بارندگی های شدید کوتاه مدت به کار گرفته شده و نشان داده اند که این مدل ها می توانند به پیش بینی موقع رویدادهای بارش شدید کمک کنند (مون<sup>۱</sup> و همکاران، ۱۴۰۱۹). در یک مطالعه دیگر، روزهای بارندگی شدید در شبه جزیره هند با استفاده از الگوریتم های یادگیری ماشین پیش بینی شده و نتایج حاکی از آن بود که مدل های مختلف یادگیری ماشینی می توانند به بهبود دقت پیش بینی های بارش سنگین کمک کنند (سوبر همانیام<sup>۲</sup> و همکاران، ۱۴۰۲۱). همچنین، عدم قطعیت مدل شبکه عصبی در ریز مقیاس گردانی HadCM3 با روش فاصله اطمینان بوت استراپ بررسی شده و مشخص گردید که دقت شبکه عصبی در پیش بینی دمای بیشینه در تابستان کمتر است و عدم قطعیت بالاتری دارد، که این امر بر اهمیت ارزیابی عدم قطعیت در مدل های پیش بینی بارش تأکید دارد (قمر چشم و همکاران، ۱۳۹۴). در زمینه تغییرات زمانی - مکانی بارش های بحرانی در غرب ایران طی سال های ۱۹۶۵-۲۰۱۶، مشخص شد که با افزایش عرض جغرافیایی، از مجموع بارش های فرین و سهم آن ها از بارش سالانه کاسته می شود، که این مطالعه الگوهای منطقه ای بارش را روشن ساخته است (جهانبخش اصل و همکاران، ۱۳۹۹). در تحلیلی بر مطالعات تغییر اقلیم در ایران، افزایش فرین های جویی به عنوان مهم ترین پیامد این پدیده در ایران معرفی شده است، که نشان می دهد تغییرات اقلیمی باعث تغییر الگوهای آب و هوایی و افزایش رویدادهای شدید جویی شده است (اکبری و صیاد، ۱۴۰۰). درنهایت، نقش عوامل درونی و بیرونی در وردایی دهه ای بارش سالانه ایران بررسی شد و مشخص گردید که طی چهار دهه اخیر، تأثیر عوامل بیرونی موجب کاهش پهنه های

1. Moon

2. Subrahmanyam

بارشی شده است، که این مطالعه بر اهمیت بررسی عوامل مؤثر بر الگوهای بارش در مقیاس‌های زمانی بزرگ‌تر تأکید دارد (عساکره، مسعودیان و ترکارانی، ۱۴۰۰). مطالعات پیشین به‌وضوح اهمیت استفاده از روش‌های آماری و یادگیری ماشین در تحلیل و پیش‌بینی بارش را نشان می‌دهند. با این حال، پژوهش حاضر با بررسی جامع و ترکیبی روش‌های مختلف یادگیری ماشین و آماری (مانند شبکه عصبی MLP، تحلیل خوش‌های و درخت تصمیم)، و تمرکز ویژه بر الگوهای بارش در شمال ایران، رویکردی متفاوت را در پیش‌گرفته است. این پژوهش سعی دارد با تحلیل دقیق تر داده‌های بارش، درک جامع‌تری از الگوهای بارشی در شمال ایران و همچنین توانایی روش‌های مختلف در مدل‌سازی این الگوها ارائه دهد. تغییرات آب‌وهوایی به تغییراتی در میانگین‌یا تنوع ویژگی‌های آب‌وهوایی اشاره دارد که به طور مستمر برای دوره‌های طولانی ادامه خواهد داشت و این تغییرات ناشی از عوامل طبیعی و فعالیت‌های انسانی هستند (عساکره و مطلبیزاد، ۱۳۹۶).

## مواد و روش‌ها

داده‌های مورد استفاده در این پژوهش، اطلاعات ساعتی و روزانه ایستگاه‌های سینوپتیک سراسر ایران در بازه زمانی ۱۹۹۰ تا ۲۰۲۰ هستند. انتخاب این بازه زمانی با توجه به در دسترس بودن داده‌های باکیفیت و پوشش مناسب جغرافیایی صورت گرفته است. داده‌های خام قبل از استفاده در مدل‌های یادگیری ماشین، مراحل پیش‌پردازش لازم را شامل حذف مقادیر ناقص، تشخیص و اصلاح خطاهای و نرم‌السازی داده‌ها پشت‌سر گذاشته‌اند.

### شبکه عصبی پرسپترون چندلایه

شبکه پرسپترون چندلایه MLP یکی از انواع شبکه‌های عصبی است. در این شبکه‌ها عملیات یادگیری و پردازش داده‌ها به‌سمت جلو از سمت لایه ورودی به لایه خروجی صورت می‌گیرد (دستوریان و افخمی، ۲۰۱۱). پرسپترون، تابعی است که ورودی  $x$  آن را با ضربی وزن‌های آموزش‌دیده ضرب می‌کند. مقدار خروجی  $(x)f$  به صورت (رابطه ۱) است.  $W$  بردار وزن‌ها با ارزش واقعی،  $b$  بایاس و  $X$  برابر با بردار مقادیر ورودی بارش تجمعی ۲۴ ساعته است. هریک از نزون‌ها شامل یک تابع حرک‌کاند. توابع محرك مختلفی وجود دارد که با توجه به ساختار مسئله و نیز ساختار مد نظر برای شبکه عصبی از آن‌ها استفاده می‌شود (سینکنو، ۱۹۸۹). تابع تانژانت هیپربولیک، مقادیر حقیقی را به بازه  $[1, -1]$  نگاشته و به صورت (رابطه ۲) تعریف می‌شود.

$$F(x) = \begin{cases} 0 & w \cdot x + b > 0 \\ 1 & \text{Otherwise} \end{cases} \quad \text{رابطه ۱}$$

$$\tanh(x) = \frac{e^x - e^{-x}}{e^x + e^{-x}} \quad \text{رابطه ۲}$$

فرایнд پیش‌پردازش داده‌ها پس از جمع‌آوری داده‌ها، مراحل پیش‌پردازش شامل حذف مقادیر گمشده، نرم‌السازی داده‌ها و آماده‌سازی ویژگی‌ها برای ورود به شبکه عصبی انجام می‌شود. سپس داده‌ها به مجموعه‌های آموزشی و آزمایشی تقسیم می‌گردند تا بتوان صحت و کارایی مدل را بر روی داده‌های مستقل ارزیابی کرد. در فرایند آموزش، تابع هزینه برای اندازه‌گیری فاصله بین خروجی پیش‌بینی شده و خروجی واقعی به صورت (رابطه ۳) زیر است:

$$C = \frac{1}{N} \sum_{i=1}^N (y_i - \hat{y}_i)^2 \quad \text{رابطه ۳}$$

$$\delta^{(l)} = \nabla_a C \times \phi'(z^{(l)}) \quad \text{رابطه ۴}$$

که در آن،  $N$  تعداد نمونه‌ها،  $y_i$  خروجی واقعی و  $\hat{y}_i$  خروجی پیش‌بینی شده است. پس از محاسبه خطای (رابطه ۴)، فرایند پس‌گردانی Backpropagation با استفاده از روش‌های بهینه‌سازی مانند گرادیان کاهشی آغاز می‌شود. در این مرحله، وزن‌ها و بایاس‌های شبکه به روزرسانی می‌شوند تا خطای حداقل برسد. این به روزرسانی‌ها براساس محاسبات گرادیان انجام می‌شود. فرایند پس‌انتشاری و به روزرسانی وزن‌ها برای به روزرسانی وزن‌ها در هر لایه، از گرادیان‌ها و قوانین انتشارات خطای استفاده می‌شود.

گرادیان های مربوطه در معادلات (رابطه های ۵ تا ۶) پایین: (l) خطای لایه ۱ است. (l-1) خروجی لایه قبلی است. ((l)'(z)) مشتق تابع فعال سازی است.

$$\nabla_w C = a^{(l-1)} \times \delta^{(l)} \quad (رابطه ۵)$$

$$\nabla_b C = \delta^{(l)} \quad (رابطه ۶)$$

ساختار نهایی شبکه و توابع فعال سازی برای خروجی، توابع فعال سازی مانند سیگموید (رابطه ۷) و ReLU (رابطه ۸) به کار می روند. خروجی نهایی شبکه نیز به صورت رابطه ۹ است:

$$\sigma(z) = \frac{1}{1 + e^{-z}} \quad (رابطه ۷)$$

$$\text{ReLU}(z) = \max(0, z) \quad (رابطه ۸)$$

$$\hat{y} = a^{(L)} \quad (رابطه ۹)$$

### تابع تحلیل واریانس

در مبحث آرمون برابری میانگین ها، اگر تعداد جمعیت هایی که می خواهیم میانگین آن ها را باهم مقایسه کنیم بیش از دو تا باشد، از تابع آنالیز واریانس یک طرفه استفاده شود. از این تابع anova برای تشکیل جدول آنالیز واریانس ساده و چند طرفه به فرم کلی (anova(object,...)) استفاده می شود (اسماعیلیان، وحدت و حیدردوست، ۱۳۹۵: ۱۵۰). مقایسه میانگین بارش در ایستگاه های مختلف، به تعیین تفاوت احتمالی میانگین ها کمک می کند. این فرایند از جمع آوری داده تا تحلیل آماری (با توجه به سطح معناداری و درجه آزادی)، به اعتبار سنجی مدل و پیش بینی دقیق تر منجر می شود (فرجی و همکاران، ۱۴۰۳).

### تابع درخت تصمیم

روشی قابل تفسیر برای حل مسائل طبقه بندی و رگرسیون است. این روش سلسله مراتبی، براساس ویژگی ها تصمیم می گیرد و نیازی به فرض های خاص درباره توزیع داده ها ندارد. قابلیت کار با داده های گمشده و تفسیر آسان از مزایای آن است. (راهنمای دسترسی به توابع در زبان برنامه نویسی، S). آتروپی درخت تصمیم به صورت زیر (رابطه ۱۰) است که در آن  $P_i$  احتمال برخورد به کلاس ۱ میزان اطلاعات کسب شده (گین اطلاعات) برای ویژگی A (رابطه ۱۱) است.

$$H(S) = -\sum_{i=1}^C P_i \log_2 P_i \quad (رابطه ۱۰)$$

$$IG(S, A) = H(S) - \sum_{v \in A} \frac{|S_v|}{|S|} H(S_v) \quad (رابطه ۱۱)$$

### تابع کلاسترینگ

روشی در یادگیری غیر نظارتی برای خوشه بندی داده های مشابه است. الگوریتم k-means، با انتخاب نقاط تصادفی به عنوان مرکز اولیه، داده ها را به نزدیک ترین مرکز تخصیص می دهد و مرکز را با میانگین داده های تخصیص یافته به روزرسانی می کند. این فرایند تا زمانی که مرکز تغییر نکند تکرار می شود (راهنمای دسترسی به توابع در زبان برنامه نویسی، S). تابع هزینه در روش k-means به صورت زیر (رابطه ۱۲) است. در این معادله  $\sum_j x_j$  نمونه های داده است و  $\sum_i \mu_i$  مرکز خوشه i است.

$$J = \sum_{i=1}^k \sum_{x_j \in C_i} \|x_j - \mu_i\|^2 \quad (رابطه ۱۲)$$

### تابع رگرسیون خطی

در مبحث رگرسیون، ما به دنبال یافتن رابطه ای بین متغیر وابسته و متغیرهای مستقل هستیم. این رابطه ممکن است از نوع خطی یا غیر خطی باشد. تابعی که ارتباط بین متغیرهای مستقل و وابسته را بیان می کند به تابع رگرسیون موسوم است (اسماعیلیان، ۱۳۸۴). تابع مدل رگرسیون خطی به شکل زیر (رابطه ۱۳) است: در این رابطه، Y مقدار بارش ۲۴ ساعته است  $X_1, X_2, \dots, X_n$ . ویژگی های ورودی مانند زمان  $\beta_0$  عرض از مبدأ  $\beta_1$  ضرایب مربوط به هر ویژگی و  $\epsilon$  خطای مدل است.

$$Y = \beta_0 + \beta_1 X_1 + \beta_2 X_2 + \dots + \beta_n X_n + \epsilon \quad (رابطه ۱۳)$$

## یافته‌ها و نتایج تحقیق

### نتایج شبکه عصبی پرسپترون لایه

نتایج آموزش و آزمون مدل (جدول ۱) نشان می‌دهد که شبکه عصبی MLP با استفاده از تنظیمات فوق، قادر به پیش‌بینی دقیق بارش ماهانه است. مقدار MSE در بخش آزمون به  $0.04$  کاهاش یافته که نشان دهنده دقت بالای مدل در پیش‌بینی بارش ماهانه است. همچنین، زمان آموزش برای مدل نیز در محدوده قابل قبولی قرار دارد. براساس نتایج به دست آمده، شبکه عصبی MLP با معماری و تنظیمات پیشنهادی، به عنوان یک مدل مناسب برای پیش‌بینی بارش ماهانه در مناطق مختلف ایران معرفی می‌شود. استفاده از مقیاس‌بندی استاندارد برای داده‌ها،تابع فعال ساز تائزانت هیبروبولیک و تابع خطای MSE، همگی به بهبود عملکرد مدل کمک کرده‌اند. این مطالعه نشان می‌دهد که شبکه‌های عصبی مصنوعی، ابزارهای قدرتمندی برای مدل‌سازی و پیش‌بینی پدیده‌های پیچیده مانند بارش هستند و می‌توانند در مطالعات هیدرولوژیکی و مدیریت منابع آب مورد استفاده قرار گیرند.

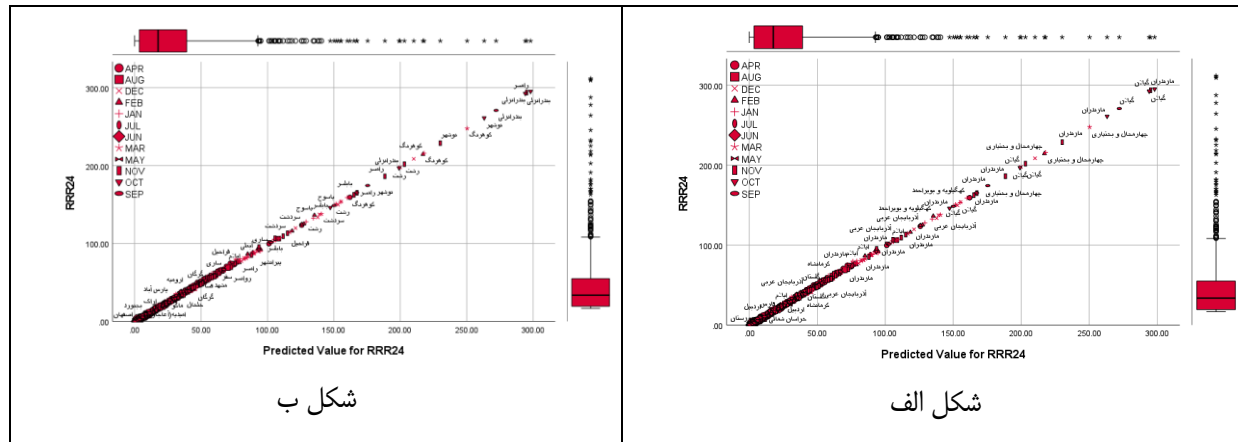
جدول ۱. نتایج مدل شبکه‌های عصبی پرسپترون چندلایه

آزمون	آموزش
مجموع مریعات خطای: $6271/151$	مجموع مریعات خطای: $12706/604$
میانگین خطای نسبی کل: $0.194$	میانگین خطای نسبی کل: $0.331$
خطای نسبی برای متغیر وابسته: متغیر خطای نسبی برای متغیر وابسته: $0.525$	خطای نسبی برای متغیر وابسته: $0.525$
قانون زمان متوقف شده: یک مرحله متوالی بدون کاهش خطای نسبی برای متغیر وابسته: $0.40$	قانون زمان متوقف شده: یک مرحله متوالی بدون کاهش خطای نسبی برای متغیر وابسته: $0.38$
زمان آزمون: $0.5: 39/38$	زمان آزمون: $0.5: 39/38$

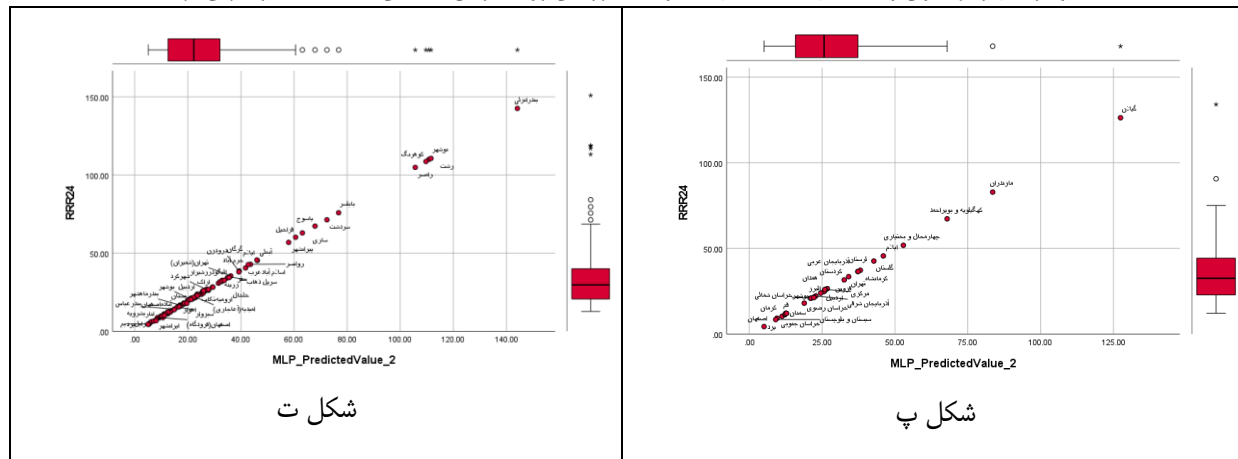
### تحلیل مقایسه‌ای بارش واقعی و پیش‌بینی شده

این بخش به تحلیل تطبیقی داده‌های بارش واقعی (مشاهده شده) و مقادیر پیش‌بینی شده توسط مدل می‌پردازد. هدف، درک الگوهای زمانی (ماهانه، فصلی و سالانه) و مکانی بارش، و ارزیابی توانایی مدل در بازتولید این الگوهاست. برای این منظور، از نمودارهای رگرسیون و باکس‌پلات (شکل‌های ۱ تا ۲) استفاده شده است. داده‌های بارش ماهانه از ایستگاه‌های هواشناسی سراسر ایران جمع‌آوری و با پیش‌بینی‌های مدل مقایسه شده‌اند: تحلیل ۱، الگوهای ماهانه و فصلی بارش تجمعی، فصل زمستان (دسامبر تا فوریه): این فصل، به‌ویژه ماه‌های دسامبر، زانویه و فوریه، بیشترین میزان بارش را در ایران تجربه می‌کند. این پدیده عمدتاً به‌دلیل فعالیت سامانه‌های مدیترانه‌ای و سیستم‌های پرفشار سیبری در این فصول است که با ورود رطوبت از دریای مدیترانه و دریای سیاه، بارش‌های قابل توجهی را به‌ویژه در نوار شمالی و غرب کشور به همراه دارد. بارش‌ها شامل برف در ارتفاعات و باران در مناطق پست‌تر است. فصل بهار (مارس تا مه): بارش‌ها در ماه‌های مارس و آوریل افزایش قابل توجهی نشان می‌دهند، اما از ماه مه به تدریج کاهش می‌یابند. اوایل بهار، همچنان تحت تأثیر باقی‌مانده فعالیت سامانه‌های زمستانی و جبهه‌های هوایی ناپایدار است. با پیشرفت فصل و افزایش دما، به تدریج الگوهای همرفتی (بارش‌های محلی و رگباری) غالب می‌شوند، اما بارش‌های گسترده‌تر کاهش می‌یابند. فصل تابستان (ژوئن تا سپتامبر): بارش‌ها در این فصل، به‌ویژه در ماه‌های ژوئن، ژوئیه و اوت به حداقل خود می‌رسند. این فصل با استقرار پرفشار آзор بر روی ایران و خاورمیانه مشخص می‌شود که منجر به پایداری جوی و فرونشینی هوا می‌شود. این شرایط مانع از تشکیل ابرها و بروز بارش‌های گسترده می‌گردد. بارش‌های تابستانی عمدتاً محلی، رگباری و در مناطق کوهستانی است. فصل پاییز (اکتبر تا نوامبر): با شروع فصل پاییز، به‌ویژه در ماه‌های اکتبر و نوامبر، بارش‌ها مجدداً افزایش می‌یابند. با تضعیف پرفشار تابستانی و شروع حرکت به سمت جنوب سامانه‌های مدیترانه‌ای و ورود جبهه‌های سرد به کشور، رطوبت و ناپایداری جوی افزایش یافته و منجر به آغاز بارش‌های پاییزی می‌شود. نتیجه‌گیری الگوهای زمانی مدل پیش‌بینی شده، الگوی ماهانه و فصلی مشابهی را با داده‌های مشاهده شده نشان می‌دهد. بیشترین و کمترین مقادیر بارش در ماه‌های یکسان (یعنی مارس تا آوریل و دسامبر تا فوریه برای حداکثر؛ و ژوئن تا اوت برای حداقل) توسط مدل پیش‌بینی شده است. این انطباق، نشان دهنده توانایی بالای مدل در بازتولید تغییرات فصلی بارش در ایران است. تحلیل ۲، مقایسه مقادیر بارش تجمعی سالانه و ۲۴ ساعته در سطح

ایستگاه های ایران، داده های مشاهده شده: بیشترین بارش سالانه در ایستگاه بندر انزلی (۱۴۲/۵۵ میلی متر) و کمترین آن در یزد (۴/۳۶ میلی متر) ثبت شده است. پیش بینی مدل: مدل نیز مقادیر بسیار نزدیکی را برای بندر انزلی (۱۴۴/۰۸ میلی متر) و یزد (۵/۰۸ میلی متر) پیش بینی کرده است. تفاوت اقلیمی بین مناطق ساحلی شمال (بندر انزلی با اقلیم پرباران خزر) و مناطق کویری مرکزی (یزد با اقلیم خشک) ایران، دلیل اصلی این تفاوت فاحش در میزان بارش سالانه است. مدل به درستی، این تفاوت های اقلیمی و مکانی را بازتاب داده است. تحلیل<sup>۳</sup>، تحلیل بارش تجمعی ۲۴ ساعتی استانی داده های واقعی و پیش بینی مدل در این بخش، به مقایسه مقادیر بارش تجمعی ۲۴ ساعته بین داده های مشاهده شده و پیش بینی های مدل در سطح استان ها پرداخته می شود تا توانایی مدل در شناسایی و باز تولید الگوهای مکانی بارش های شدید بررسی گردد. بالاترین میزان بارش تجمعی ۲۴ ساعتی مشاهده شده، در استان گیلان با ۲۶/۲۴ میلی متر ثبت شده است. در مقابل، کمترین میزان بارش ۲۴ ساعتی مشاهده شده، در استان یزد با ۴/۳۶ میلی متر گزارش شده است. مدل نیز برای استان گیلان، بارش تجمعی ۲۷/۴۲ میلی متر را پیش بینی کرده است. برای استان یزد نیز، مدل مقدار ۰/۸ میلی متر را پیش بینی نموده است. موقعیت جغرافیایی و اقلیمی: گیلان به دلیل قرار گرفتن در ساحل جنوبی دریای خزر و دامنه شمالی رشته کوه البرز، یک منطقه با اقلیم بسیار مرطب و پربارش است. تأثیر دریای خزر: رطوبت حاصل از تبخر آب دریای خزر، یک منبع عظیم بخار آب برای منطقه فراهم می کند. پدیده های اوروگرافیک (کوه هسارتی): هنگامی که توده های هوای مرطب از روی دریای خزر به سمت جنوب حرکت کرده و به دامنه های شمالی البرز برخورد می کند، مجبور به صعود می شوند. این صعود اجباری هوا باعث سرد شدن، رسیدن به نقطه شبنم و در تیجه چگالش بخار آب و تشکیل ابرها و بارش های شدید اوروگرافیک (به ویژه در بازه ۲۴ ساعتی) می گردد. این پدیده، دلیل اصلی بارش های فوق العاده زیاد در این منطقه است. استان یزد (بارش حداقلی): یزد در مرکز فلات خشک ایران واقع شده و بخش عمده آن را مناطق بیابانی و نیمه بیابانی تشکیل می دهد. دوری از منابع رطوبتی: این استان از منابع رطوبتی بزرگ مانند دریاها فاصله زیادی دارد. اثر سایه کوه هست: رشته کوه های اطراف، مانند زاگرس در غرب و البرز در شمال، اثر سایه کوه هستان Rain Shadow Effect بر یزد دارد. به این معنا که رطوبت توده های هوا قبل از رسیدن به این منطقه، در دامنه های رو به باد این کوه ها (مانند دامنه های غربی زاگرس) تخلیه شده و هوای خشک به یزد می رسد. این عوامل منجر به بارش های بسیار اندک و نامنظم در این استان می شوند. نتایج مقایسه ای نشان می دهد که مدل قادر است تفاوت های فاحش مکانی در میزان بارش تجمعی ۲۴ ساعتی بین مناطق پربارش (مانند گیلان) و مناطق خشک (مانند یزد) را با دقت قابل قبولی پیش بینی کند. انطباق بالای مقادیر پیش بینی شده با داده های واقعی در این دو استان با اقلیم کاملاً متفاوت، نشان دهنده توانایی مدل در درک و شبیه سازی الگوهای پیچیده آب و هوایی و هیدرولوژیکی ایران است. این قابلیت برای برنامه ریزی مدیریت سیالات، منابع آب و کشاورزی در مقیاس استانی، بسیار حائز اهمیت است. تحلیل<sup>۴</sup>، نمودارهای رگرسیون ترسیم شده بین داده های واقعی و پیش بینی شده، همبستگی بالایی را بین این دو مجموعه داده نشان می دهد. این همبستگی قوی به این معناست که مدل قادر است تغییرات در بارش واقعی را به خوبی ردیابی کند. نقاط داده های که نزدیک به خط رگرسیون خط  $X=Y$  قرار دارند، نشان دهنده دقت بالای پیش بینی مدل در آن موارد هستند. این یافته، اعتبار مدل را در پیش بینی مقادیر بارش در سطوح مختلف تأیید می کند. تحلیل مقایسه ای نشان می دهد که مدل توسعه یافته نه تنها قادر به پیش بینی دقیق مقادیر بارش تجمعی ۲۴ ساعتی است، بلکه توانایی قابل توجهی در باز تولید الگوهای پیچیده ماهانه، فصلی و سالانه بارش و همچنین تفاوت های مکانی شدید در سراسر ایران دارد. این نتایج، ارزش عملی مدل را در کاربردهای هیدرولوژیک و مدیریت منابع آب افزایش می دهد.



شکل ۱. نمودارهای رگرسیون و جعبه‌ای (شکل‌های الف و ب)، بررسی روند بارش تجمعی ۲۴ ساعته در ایران بر حسب ماه



شکل ۲. نمودارهای رگرسیون و جعبه‌ای (شکل‌های پ و ت)، بررسی روند بارش تجمعی ۲۴ ساعته در ایران بر حسب سال

### نتایج تحلیل واریانس

براساس تحلیل انجام شده (جدول ۲ و شکل ۳) مقدار آماره F به دست آمده و همچنین سطح معنی‌داری P که کمتر از  $<0.05$  گزارش شده است، نشان دهنده وجود تفاوت‌های معنادار بین میانگین بارش تجمعی ۲۴ ساعته ایستگاه‌های هواشناسی ایران در دوره مشاهده‌ای و شبیه‌سازی شده می‌باشد. نتایج آزمون آنالیز واریانس یک طرفه به روشنی مؤید این واقعیت است که میانگین بارش در ایستگاه‌های مختلف تحت بررسی، از نظر آماری به‌طور معناداری با یکدیگر متفاوت است و می‌توان نتیجه گرفت که فرضیه صفر مبنی بر برابری میانگین‌های بارش تجمعی ۲۴ ساعته در ایستگاه‌های مختلف رد می‌شود؛ درنتیجه، این یافته‌ها اهمیت بسزایی در ارزیابی دقت مدل‌های شبیه‌سازی بارش و بررسی کارایی آن‌ها در پیش‌بینی بارش واقعی ایفا می‌کنند. این نتایج، به تحقیقات آینده در زمینه بهبود الگوریتم‌های شبیه‌سازی بارش و تطابق آن‌ها با داده‌های واقعی کمک شایانی خواهد کرد. برای تقویت اعتبار این نتایج، توصیه می‌شود که تحلیل‌های تکمیلی و بررسی‌های بیشتری در زمینه عوامل مؤثر بر بارش و دقت شبیه‌سازی‌ها صورت پذیرد.

جدول ۲. نتایج تحلیل واریانس برای بارش تجمعی ۲۴ ساعته در ایران

متغیر	درجه آزادی	F آماره	سطح معنی‌داری
بارش ثبت شده در ایران	۱۰۵	۹/۲۲	.۰۰۰
بارش مدل‌سازی شده در ایران	۱۰۵	۹/۱۴	.۰۰۰

```

*** One-Way ANOVA for data in RRR24 by STATION ***
Call:
aov(formula = structure(.Data = RRR24 ~ STATION, class = "formula"), data =
SDF23)

Terms:
STATION Residuals
Sum of Squares 759484.7 941975.5
Deg. of Freedom 105 1202
Residual standard error: 27.99417
Estimated effects may be unbalanced

Df Sum of Sq Mean Sq F Value Pr(F)
STATION 105 759484.7 7233.282 9.22597 0
Residuals 1202 941975.5 783.673

*** One-Way ANOVA for data in Predicted.Value.for.RRR24 by STATION ***
Call:
aov(formula = structure(.Data = Predicted.Value.for.RRR24 ~ STATION, class =
"formula"), data = SDF23)

Terms:
STATION Residuals
Sum of Squares 765027.0 957473.4
Deg. of Freedom 105 1202
Residual standard error: 28.22352
Estimated effects may be unbalanced

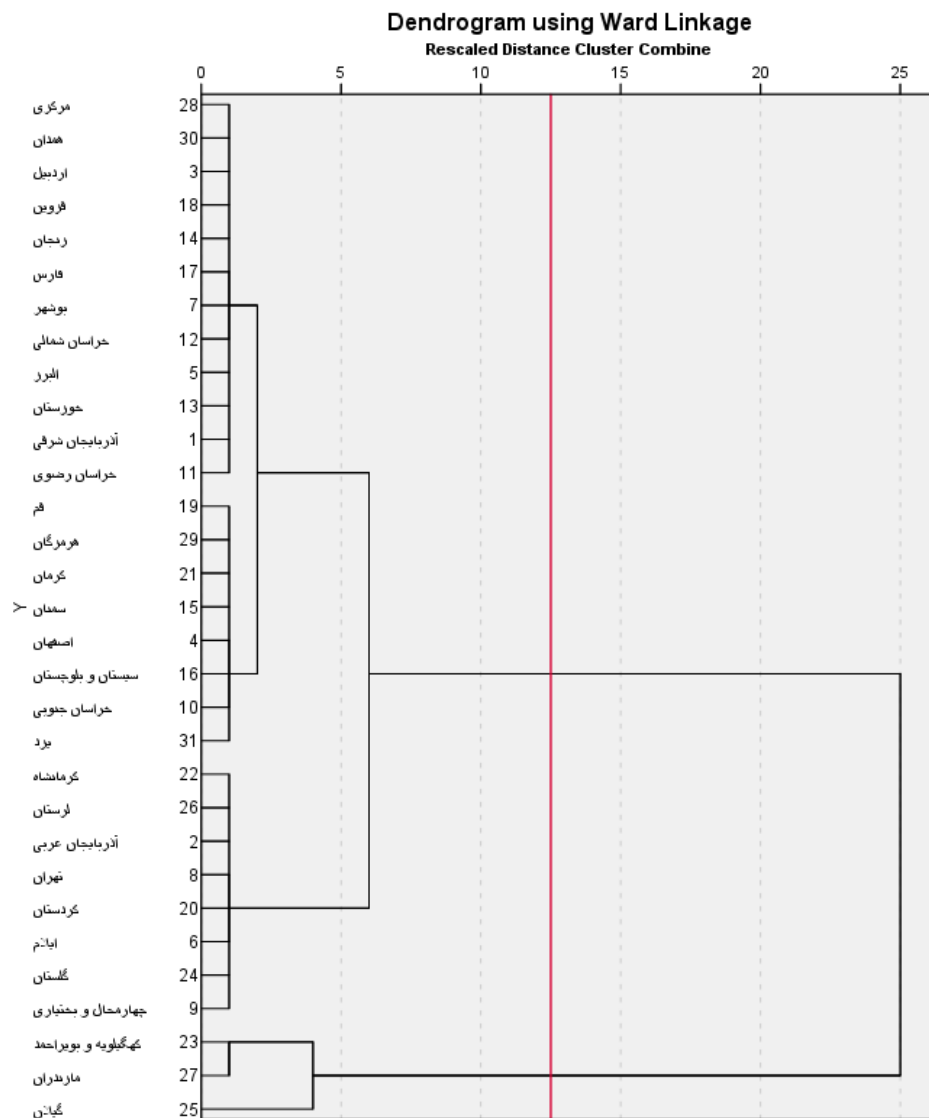
Df Sum of Sq Mean Sq F Value Pr(F)
STATION 105 765027.0 7285.971 9.146716 0
Residuals 1202 957473.4 796.567

```

شکل ۳. نتایج تحلیل واریانس برای بارش تجمعی ۲۴ ساعتی در ایران (راهنمای دسترسی به توابع در زبان برنامه نویسی، S)

### نتایج تابع کلاسترینگ

تحلیل خوشبندی به عنوان یک ابزار مهم در داده کاوی و تحلیل داده های پیچیده، با هدف شناسایی الگوهای مشابه در داده های مربوط به بارش ۲۴ ساعتی استان های ایران، به کار گرفته شد. نتایج این تحلیل (شکل ۴)، از طریق شکل گیری دنдрو گرام نمایان گردید که نحوه خوشبندی استان ها براساس میزان بارش را به تصویر می کشد. در نمودار درختی دندرو گرام خوشبندی، هر استان در سطح اول، یک خوشة مجزا را تشکیل می دهد. این نمای کلی، نشان دهنده تنوع بارش ها در استان های مختلف و تمایز بین آن ها است. در این دندرو گرام، سطوح مختلف به عنوان لایه های خوشبندی تعریف شده اند که هر کدام بُعد خاصی از تشابه بارش ها را نمایان می سازد. سطح اول: هر استان یک خوشة مستقل را تشکیل می دهد و هیچ ارتباطی بین استان ها وجود ندارد. سطح دوم: استان ها براساس تشابهات بارشی به چهار خوشة کلی گروه بندی می شوند. این طبقه بندی نشان دهنده وجود روابط مشابه در میزان بارش استان هاست و به ما این امکان را می دهد تا استان هایی با بارش مشابه را شناسایی کنیم. سطح سوم: در این سطح، استان ها به سه طبقه تقسیم می شوند که مهر تأییدی بر نشانه های مشترک بین آن هاست. این استان ها دارای ویژگی ها و الگوهای بارشی مشابه هستند که می توانند ناشی از شرایط جغرافیایی و اقلیمی مشترک باشد. سطح چهارم: درنهایت، استان ها به دو طبقه تقسیم می شوند. در این مرحله، استان های مازندران، چهارمحال و بختیاری و کهگیلویه و بویراحمد در یک طبقه قرار گرفته اند و به لحاظ بارش های مشابه با یکدیگر هم گروه شده اند. در همین راسته، استان گیلان به تنهایی در طبقه آخر این سطح بندی قرار دارد که نشان دهنده ویژگی های خاص بارش در این استان است. این تحلیل خوشه ای و دندرو گرام حاصل، می تواند به شناسایی مناطق با خصوصیات بارشی مشابه یاری رسانده و به برنامه ریزی بهتر برای مدیریت منابع آب و پیش بینی خطرات مرتبط با بارش های شدید کمک نماید.



شکل ۴. نمودار دندروگرام خوشبندی پارش استان های ایران با استفاده از روش وارد

نتایج تابع درخت تصمیم

تحلیل درخت تصمیم به عنوان یکی از الگوریتم‌های پیشرفته یادگیری ماشین، در این پژوهش برای شناسایی الگوهای بارش ساعته در استان‌های ایران به کار گرفته شده است. نتایج این تحلیل (شکل ۵)، در قالب یک نمودار درختی Tree Structure نشان می‌دهد که ساختار خوشه‌بندی استان‌ها براساس میزان میانگین بارش را به تصویر می‌کشد. نمودار درختی به گونه‌ای طراحی شده است که متغیر وابسته، یعنی میزان بارش، در گره ریشه Root Node قرار دارد. این نمای ابتدایی حاکی از آن است که بارش به عنوان معیاری کلیدی در تعیین وضعیت ملزومات آب‌وهوا بی استان‌ها مورد استفاده قرار می‌گیرد. در ادامه، خوشه‌های درخت به ترتیب میزان بارش، به خوشه‌بندی‌های مختلف تقسیم‌بندی می‌شوند که هر خوشه‌بندی نمایانگر گروهی از استان‌ها با ویژگی‌های مشابه در میزان بارش است. خوشه‌بندی ۱: در این سطح، استان‌های خوزستان، آذربایجان شرقی، خراسان شمالی، بوشهر، خراسان رضوی و البرز گروه‌بندی شده‌اند. این گروه از استان‌ها بهدلیل شرایط جغرافیایی و اقلیمی خاص، بارش‌های نسبتاً بالاتری را تجربه می‌کنند. خوشه‌بندی ۲: استان‌های فارس، مرکزی، اردبیل، زنجان، قزوین و همدان در این گروه قرار دارند. بارش در این گره نشان‌دهنده ویژگی‌های بارشی متفاوت نسبت به گروه اول است، که ممکن است به عوامل جغرافیایی و ارتفاعی برگردد. خوشه‌بندی ۳: در این سطح، استان‌های تهران، آذربایجان غربی، کرمانشاه، لرستان و کردستان گروه‌بندی شده‌اند. این گروه از استان‌ها به‌طور خاص، خصوصیات اقلیمی، خاصی، دارند که می‌تواند بر روی بارش‌های فصلی تأثیرگذار باشد. خوشه‌بندی ۴: اصفهان،



جدول ۴. نتایج رگرسیون خطی برای بخش دوم تابع، با متغیر وابسته بارش تجمعی ۲۴ ساعته در ایران

متغیر وابسته	بارش ثبت شده در ایران	۱۱	۳۱/۲۴	آماره F	درجه آزادی	سطح معنی داری
۰/۰۰۰						

```

*** Linear Model ***

Call: lm(formula = RRR24 ~ DATE., data = SDF23, na.action = na.exclude)
Residuals:
    Min      1Q Median      3Q Max
-40.23 -15.87 -5.086 3.996 270

Coefficients:
            Value Std. Error t value Pr(>|t|)
(Intercept) 36.2857   3.0855 11.7601 0.0000
DATE.AUG -30.9394   4.3635 -7.0904 0.0000
DATE.DEC  6.9940   4.3635  1.6028 0.1092
DATE.FEB  5.0238   4.3635  1.1513 0.2498
DATE.JAN  9.5950   4.3635  2.1989 0.0281
DATE.JUL -31.2983   4.3635 -7.1727 0.0000
DATE.JUN -30.0794   4.3635 -6.8934 0.0000
DATE.MAR 11.4104   4.3635  2.6149 0.0090
DATE.MAY -18.1377   4.3635 -4.1567 0.0000
DATE.NOV  5.7147   4.3635  1.3056 0.1905
DATE.OCT -11.1166   4.3635 -2.5476 0.0110
DATE.SEP -24.7623   4.3635 -5.6748 0.0000

Residual standard error: 32.21 on 1296 degrees of freedom
Multiple R-Squared: 0.2096
F-statistic: 31.24 on 11 and 1296 degrees of freedom, the p-value is 0

Analysis of Variance Table

Response: RRR24

Terms added sequentially (first to last)
          Df Sum of Sq Mean Sq F Value Pr(F)
DATE.     11  356611 32419.15 31.24134 0
Residuals 1296 1344860 1037.70

```

شکل ۶. نتایج حاصل از تحلیل رگرسیون خطی بر روی بخش‌های اول و دوم تابع، با در نظر گرفتن بارش تجمعی ۲۴ ساعته در ایران به عنوان متغیر وابسته (راهنمای دسترسی به توابع در زبان برنامه نویسی، R)

## نتیجه‌گیری

تحلیل‌های جامع انجام شده بر روی داده‌های بارش با بهره‌گیری از روش‌های پیشرفته آماری و یادگیری ماشین، دیدگاه‌های ارزشمندی را در مورد الگوهای بارش در ایران ارائه داد. کاربرد موفقیت‌آمیز مدل MLP در پیش‌بینی دقیق بارش ماهانه، با خطای میانگین مربعات ۰.۰۴ (MSE)، نشان‌دهنده توان بالای شبکه‌های عصبی مصنوعی در مدل‌سازی پدیده‌های پیچیده هیدرولوژیکی است. این یافته‌ها اهمیت استفاده از رویکردهای نوین را در بهبود دقت پیش‌بینی بارش و مدیریت منابع آب تأیید می‌کند. همچنین، نتایج تحلیل واریانس یک‌طرفه تفاوت‌های آماری معناداری را بین میانگین بارش ایستگاه‌های مختلف در ایران آشکار ساخت که بر تأثیرگذاری عوامل جغرافیایی و اقلیمی متعدد در پراکنش بارش تأکید دارد. تحلیل کلاسترینگ و درخت تصمیم نیز به شناسایی الگوهای منطقه‌ای و گروه‌بندی استان‌ها براساس ویژگی‌های بارشی مشابه کمک شایانی کرد. این خوش‌بندی‌ها ابزار مؤثری برای برنامه‌ریزی هدفمند منابع آب و مدیریت ریسک‌های مرتبط با بارش‌های شدید فراهم می‌آورد. درنهایت، تحلیل رگرسیون خطی با ضریب تعیین تعدل شده  $R^2 = 0.209$  (Adjusted R<sup>2</sup>)، نقش زمان را در تبیین واریانس بارش برگسته ساخت و نشان داد که تغییرات فصلی و ماهانه تأثیر قابل توجهی بر الگوهای بارش دارد. بهطور کلی، یافته‌های این مطالعه نه تنها دانش موجود درزمینه مدل‌سازی و پیش‌بینی بارش را تعمیق می‌بخشند، بلکه چارچوبی جامع برای درک الگوهای پیچیده بارش در ایران فراهم می‌آورند. این بینش‌ها می‌توانند مبنای علمی برای سیاست‌گذاری‌های آتی در حوزه مدیریت پایدار منابع آب، کاهش مخاطرات ناشی از تغییرات اقلیمی، و ارتقای تاب‌آوری سیستم‌های هیدرولوژیک کشور قرار گیرند.

## References

- Akbari, M., & Sayad, V. (2021). Analysis of climate change studies in Iran. *Journal of Natural Geography Research*, 53(1), 37–74. (in Persian)
- Asakereh, H., & Mottalebzad, S. (2017). Comparison of SDSM and artificial neural networks performance in predicting minimum temperature changes (Case study: Urmia station). *Spatial Planning*, 21(4), 140–160. (in Persian)
- Asakereh, H., Masoudian, S. A., & Torkarani, F. (2021). Disentangling the role of internal and external factors in the decadal variability of annual rainfall in Iran during the last four decades (1976–2015). *Journal of Natural Geography Research*, 53(1), 91–107. <https://doi.org/10.22059/jphgr.2021.304776.1007529>
- Babaei Hesar, S., & Ghazavi, R. (2015). Comparison of time series and neural network models with emission scenario results in rainfall prediction. *Water and Soil*, 29(4), 943–953. (in Persian)
- Bahrami, M., Salari, A., Amiri, M. J., & Bahrami, A. (2023). Performance evaluation of artificial neural network in estimating rainfall using climatic and geographic data (Case study: Fars province). *Irrigation and Water Engineering*, 13(3), 121–140. <https://doi.org/10.22125/iwe.2023.168171>
- Cybenko, G. (1989). Approximations by superpositions of a sigmoidal function. *Mathematics of Control, Signals and Systems*, 2, 183–192. <https://doi.org/10.1080/19373260802659226>
- Dastorani, M. T., & Afkhami, H. (2011). Application of artificial neural networks on drought prediction in Yazd (Central Iran). *Desert*, 16(1), 39–48. (in Persian)
- Dehghani Navid, V., Vafakhah, M., & Bahrehamd, A. R. (2016). Rainfall-runoff modeling using artificial neural network and adaptive neuro-fuzzy network in Kasilian watershed. *Watershed Management Research Journal*, 7(13), 128–137. (in Persian)
- Esmaelian, M. (2005). *Comprehensive SPSS Guide*. Naghoos Publications. (in Persian)
- Esmaelian, M., Vahdat, J., & Heidardoust, H. (2016). *R software guide*. University of Mohaghegh Ardabili Publications. (in Persian)
- Fallah Ghalhari, G., & Shakeri, F. (2015). Application of artificial neural networks in winter rainfall forecasting. *Iranian Journal of Watershed Management Science & Engineering*, 9(31), 98–110. (in Persian)
- Faraji, M., Rezaei Banafsheh, M., Sari Sarraf, B., & Khorshidoost, A. (2023). Numerical simulation of climate change in Iran using artificial neural network algorithm. *Climate Change Researches*, 4(14), 43–64. (in Persian)
- Faraji, M., Rezaei Banafsheh, M., Sari Sarraf, B., & Khorshidoost, A. (2024). Data mining of 24-hour air temperature in Iran using machine learning multilayer perceptron neural network. *Climate Change Researches*, 5(20), 33–48. <https://doi.org/10.30488/ccr.2024.458168.1216>
- Ghermezehashme, B., Rasouli, A. A., Rezaei Banafsheh, M., Massah Bavani, A. R., & Khorshidoost, A. M. (2015). Uncertainty assessment of neural network model in downscaling HadCM3 using bootstrap confidence interval method. *Journal of Watershed Engineering and Management*, No. 3, 306–316. (in Persian)
- Gholizadeh, M. H., & Darand, M. (2011). Monthly rainfall forecasting using artificial neural networks (Case study: Tehran). *Journal of Natural Geography Research*, 42(7), 51–63. (in Persian)
- Jahanbakhsh Asl, S., Sari Sarraf, B., Asakereh, H., & Shirmohammadi, S. (2020). Analysis of temporal-spatial changes of critical rainfalls (extreme high) in the west of Iran during the years 1965–2016. *Journal of Environmental Hazards Analysis*, 7(1), 89–106. (in Persian)
- Moon, S. H., Kim, Y. H., Lee, Y. H., & Moon, B. R. (2019). Application of machine learning to an early warning system for very short-term heavy rainfall. *Journal of Hydrology*, 568, 1042–1054. <https://doi.org/10.1016/j.jhydrol.2018.11.060>
- Pakdaman, M. (2022). The effect of training algorithm type of multilayer perceptron neural network on the accuracy of monthly rainfall forecast of Iran, case study: ECMWF model. *Journal of Earth and Space Physics*, 48(1), 213–226. <https://dor.isc.ac/dor/20.1001.1.2538371.1401.48.1.14.2> (in Persian)
- \*R Programming Language. Available functions guide.
- S Programming Language. Available functions guide.

- Sadatinejad, S. J., Soleimani Sardo, F., & Mirzavand, M. (1403). Modeling and Predicting Climatic Parameters Using the CanESM2 Model Under RCP Scenarios (Case Study: Karaj Station). *Ecohydrology Journal*, 11(3), 411-426. doi: 10.22059/ije.2024.382370.1845 (in Persian).
- Shahbaii Kotnaei, A., & Asakereh, H. (2023). Evaluation of fuzzy clustering and artificial neural network methods in spatial zoning of annual rainfall in Iran. *Journal of Water and Soil Science*, 27(1), 17–32. (in Persian)
- Shahgholian, K., Bazrafshan, J., & Irandjed, P. (2023). Synoptic weather variables and data mining methods for predicting regional heavy precipitation over the southwest of Iran. *Theoretical and Applied Climatology*, 147, 401–416. <https://link.springer.com/article/10.1007/s12040-021-01725-9>
- Subrahmanyam, K. V., Ramsenthil, C., Girach Imran, A., Chakravorty, A., Sreedhar, R., Ezhilrajan, E., & Jha, C. S. (2021). Prediction of heavy rainfall days over a peninsular Indian station using the machine learning algorithms. *Journal of Earth System Science*, No. 130, 1–9. <https://doi.org/10.21203/rs.3.rs-3768340/v>
- Tajbar, M., Khourshid Doost, S., Saeed Jahanbakhsh Asl, S. (2022). Application of Artificial Intelligence Approach in Studying the Impact of Large-Scale Climatic Drivers on Rainfall in Balochistan, Pakistan. *Journal of Geography and Environmental Planning*, 33(87), 1-20 (in Persian).